

УДК 517:621.777:669.2

ПРИМЕНЕНИЕ ВЕЙВЛЕТНОГО АНАЛИЗА ДЛЯ ИДЕНТИФИКАЦИИ СТРУКТУРНО-НЕОДНОРОДНЫХ ДЕФОРМИРУЕМЫХ МАТЕРИАЛОВ

В. В. Зверев, А. Г. Залазинский*, В. И. Новожинов**, А. П. Поляков*

Уральский государственный технический университет, 620002 Екатеринбург

* Институт машиноведения УрО РАН, 620219 Екатеринбург

** Институт физики металлов УрО РАН, 620219 Екатеринбург

Предложена методика экспериментального исследования структуры поверхностей материалов, основанная на использовании вейвлетного анализа. Приведены основные теоретические положения локально-частотного и вейвлетного анализа. Рассмотрены примеры применения вейвлетного анализа к исследованию модельных изображений. С использованием вейвлетного анализа определена структура брикетов, полученных компактированием титановой губки.

Представляет интерес исследование зависимости физико-механических свойств существенно неоднородных деформируемых материалов (композитов, порошковых материалов и др.) от их макро- и микроструктуры. При этом часто бывает важна информация о таких интегральных характеристиках исследуемой структуры, как пространственная частота повторяемости элементов (например, зерен, пор, трещин), статистическая характеристика их распределения, наличие масштабной инвариантности и др. [1]. Ниже рассматриваются основные положения разрабатываемой авторами методики экспериментального исследования структуры материала с применением вейвлетного анализа, активно развиваемого в последнее десятилетие XX в. [2–8]. По нашему мнению, такая методика позволяет идентифицировать деформируемый материал, выявить периодичность его структуры на макро- и микроуровнях и дать оценку размеров представительных элементарных объемов для определения эффективных механических характеристик при решении задач механики деформируемых структурно-неоднородных материалов.

Методы вейвлетного анализа позволяют находить локальные и интегральные характеристики изображений в рамках единой процедуры разложения в вейвлет-спектры, определять структуру существенно неоднородного объема и изучать его локальные скейлинговые (масштабно-инвариантные) свойства, так как вейвлет-преобразование обеспечивает двумерную развертку исследуемого одномерного сигнала (при этом частота и координата рассматриваются как независимые переменные). В результате появляется возможность анализировать свойства сигнала одновременно в физическом (пространство, время) и частотном пространствах [4]. Вейвлетный анализ может быть использован для изучения как временных последовательностей, так и пространственных распределений [7].

Известные в настоящее время математические подходы, позволяющие выполнять локально-частотный анализ распределений, тесно связаны с положениями квантовой механики, допускающими установление квантово-классического соответствия. Так, в квантовой теории гамильтоновых систем наряду с координатным и импульсным представлениями широко применяется непрерывное (c -числовое) представление Вейля [9, 10], в котором вместо статистического оператора используется функция Вигнера [11, 12], заданная на c -числовом координатно-импульсном (фазовом) пространстве и переходящая в

пределе $\hbar \rightarrow 0$ в обычную функцию распределения, определяемую в классической статистической механике. Поскольку переход от координатного представления к импульсному есть интегральное преобразование Фурье (разложение в непрерывный спектр частот), математический аппарат представления Вейля может быть распространен на широкий круг задач спектрального анализа.

Приведем некоторые соотношения процедуры замены статистического оператора $\hat{\rho} = \sum_{ij} w_{ij} |i\rangle\langle j|$, $\text{sp } \hat{\rho} = \sum_i w_{ii} = 1$ функцией Вигнера [11, 12] (используются стандартные обозначения Дирака). Вводя координатное и импульсное представления (одномерная модель), получим

$$\rho_x(x, x') \equiv \langle x | \hat{\rho} | x' \rangle = \sum_{ij} w_{ij} \varphi_i(x) \varphi_j^*(x'), \quad \varphi_i(x) = \langle x | i \rangle,$$

$$\rho_p(p, p') \equiv \langle p | \hat{\rho} | p' \rangle = \sum_{ij} w_{ij} \varphi_i(p) \varphi_j^*(p') = \int_{-\infty}^{\infty} \int_{-\infty}^{\infty} \rho_x(x, x') \exp \left[-\frac{i}{\hbar} (px - p'x') \right] dx dx'.$$

Правила перехода от матричного элемента статистического оператора в координатном представлении к функции Вигнера, а также правила обратного перехода к координатному и импульсному представлениям имеют вид

$$f_w(p, x) = \int_{-\infty}^{\infty} \rho_x \left(x + \frac{1}{2} \eta, x - \frac{1}{2} \eta \right) \exp \left(-\frac{i}{\hbar} p \eta \right) d\eta; \quad (1)$$

$$\rho_x(x, x') = (2\pi\hbar)^{-1} \int_{-\infty}^{\infty} f_w \left(p, \frac{1}{2} (x + x') \right) \exp \left[\frac{i}{\hbar} p (x - x') \right] dp; \quad (2)$$

$$\rho_p(p, p') = \int_{-\infty}^{\infty} f_w \left(\frac{1}{2} (p + p'), x \right) \exp \left[-\frac{i}{\hbar} x (p - p') \right] dx. \quad (3)$$

Свойства функции Вигнера и обычной функции распределения во многом сходны. Так, формулы для вычисления средних от произвольных функций, зависящих только от координаты или импульса, имеют такой же вид, как и в классической теории:

$$\text{sp} (\hat{\rho} g(\hat{x})) = \sum_{ij} w_{ij} \langle i | g(\hat{x}) | j \rangle = \int_{-\infty}^{\infty} \int_{-\infty}^{\infty} f_w(x, p) g(x) \frac{dp dx}{2\pi\hbar},$$

$$\text{sp} (\hat{\rho} g(\hat{p})) = \sum_{ij} w_{ij} \langle i | g(\hat{p}) | j \rangle = \int_{-\infty}^{\infty} \int_{-\infty}^{\infty} f_w(x, p) g(p) \frac{dp dx}{2\pi\hbar}.$$

В случае, если статистический оператор описывает “чистое” квантово-механическое состояние, формулы (1)–(3) принимают вид

$$\rho(x, x') = \varphi(x) \varphi^*(x'), \quad f_w(p, x) = \int_{-\infty}^{\infty} \varphi \left(x + \frac{1}{2} \eta \right) \varphi^* \left(x - \frac{1}{2} \eta \right) \exp \left(-\frac{i}{\hbar} p \eta \right) d\eta. \quad (4)$$

Сходная структура правых частей в выражениях (2) и (3) отражает тот факт, что представление Вейля занимает промежуточное положение между координатным и импульсным

представлениями. Если в координатном представлении значение импульса, а в импульсном представлении значение координаты являются полностью неопределенными, в представлении Вейля достигается “компромисс”, и неопределенность каждой из указанных переменных сводится к минимуму в той степени, насколько это допускается соотношением неопределенностей. Если с помощью преобразования Фурье выполняется спектральный анализ последовательности данных, использование преобразований (1)–(3) позволяет рассматривать локально-частотные характеристики таких последовательностей (в частности, нестационарных сигналов или пространственных распределений, полученных в эксперименте).

Рассмотрим возможные обобщения представления Вейля, ориентированные на общие задачи спектрального анализа, следуя в основном работам [6, 8]. Для определенности будем считать, что исходные функции зависят от времени. Пусть интегральное преобразование Фурье имеет вид

$$\hat{f}(\omega) = \int_{-\infty}^{\infty} f(t) \exp(-i\omega t) dt, \quad f(t) = \frac{1}{2\pi} \int_{-\infty}^{\infty} \hat{f}(\omega) \exp(i\omega t) d\omega.$$

Предположим, что $f(t)$ и $g(t)$ — некоторые комплексные сигналы. По аналогии с функцией Вигнера (4) введем функции

$$R_{f,g}(\tau, \xi) = \int_{-\infty}^{\infty} f\left(t + \frac{1}{2}\tau\right) g^*\left(t - \frac{1}{2}\tau\right) \exp(-i\xi t) dt; \quad (5)$$

$$E_{f,g}(b, \omega) = \int_{-\infty}^{\infty} f\left(b + \frac{1}{2}\tau\right) g^*\left(b - \frac{1}{2}\tau\right) \exp(-i\omega\tau) d\tau. \quad (6)$$

Последнее выражение с учетом замены $b + \tau/2 = q$ перепишем в виде

$$E_{f,g}(b, \omega) = 2 \int_{-\infty}^{\infty} f(q) g^*(2b - q) \exp[-i\omega(q - b)] dq. \quad (7)$$

Функции (5) и (6), названные в [8] соответственно перекрестной функцией неопределенности и перекрестной функцией Вигнера — Вилле, связаны симплектическим преобразованием Фурье:

$$R_{f,g}(\tau, \xi) = \frac{1}{2\pi} \int_{-\infty}^{\infty} \int_{-\infty}^{\infty} E_{f,g}(b, \omega) \exp[-i(\xi b - \omega\tau)] db d\omega,$$

$$E_{f,g}(b, \omega) = \frac{1}{2\pi} \int_{-\infty}^{\infty} \int_{-\infty}^{\infty} R_{f,g}(\tau, \xi) \exp[i(\xi b - \omega\tau)] d\tau d\xi.$$

Для иллюстрации применения частотно-временного анализа с помощью функции (6) рассмотрим задачу обработки радарного сигнала в идеализированной постановке. Пусть “радар” посылает короткий радиоимпульс $f(t)$ с дельтаобразной огибающей и высокочастотным заполнением с частотой Ω . Отраженный импульс $g(t)$ имеет временную задержку, а частота заполнения изменяется на ω_0 (вследствие эффекта Доплера). Полагая, что отраженный сигнал представляется в виде $g(t) = A \exp[i\omega_0(t - t_0)]f(t - t_0)$ (для простоты

функцию формы огибающей считаем прежней), вычислим приближенно модуль функции Вигнера — Вилле

$$|E_{f,g}(b, \omega)| \approx k|A| |\hat{f}(\Omega)|^2 \delta(2\omega - 2\Omega - \omega_0) \delta(2b - t_0). \quad (8)$$

В правой части выражения (8) дельтаобразные функции записаны как дельта-функции, константа k зависит от формы огибающей. Функция (8) имеет узкий пик при $b \approx t_0/2$ и $\omega \approx \omega_0/2$. Таким образом, сравнивая посланный и вернувшийся сигналы, находим задержку по времени и величину частотного сдвига, т. е. выполняем частотно-временной анализ.

Рассмотрим формулу (7). При фиксированной функции $g(t)$ выражение (7) представляет собой некоторое интегральное преобразование на множестве функций $f(t)$. Определим преобразование, называемое непрерывным преобразованием Габора или “оконным” преобразованием Фурье [8]:

$$G_f(b, \omega) = \langle f, g_{b,\omega} \rangle \equiv \int_{-\infty}^{\infty} f(t) g_{b,\omega}^*(t) dt,$$

где $g_{b,\omega}(t) = \exp[i\omega(t-b)]g(t-b)$ — функция Габора. Функция $g_{b,\omega}$ является произведением осциллирующей экспоненты и “оконной” функции $g(t)$; в качестве последней может быть выбрана, например, гауссова функция или функция типа прямоугольного импульса. Формула обращения преобразования Габора имеет вид

$$f(t) = (2\pi \|g\|^2)^{-1} \int_{-\infty}^{\infty} \int_{-\infty}^{\infty} G_f(b, \omega) g_{b,\omega}(t) db d\omega, \quad \|g\|^2 = \int_{-\infty}^{\infty} db |g(b)|^2.$$

Покажем, что преобразование Габора позволяет улавливать медленное изменение частоты заполнения в пределах изменения импульса огибающей. Пусть $f(t) = A(t) \exp[i\varphi(t)]$, где $\varphi(t) = \omega(t)t$ и $t\omega'(t) \ll \omega(t)$ для всех t , при которых функция формы огибающей $A(t)$ существенно отлична от нуля (т. е. в пределах окна частота меняется незначительно). В этом случае $\varphi'(t) \approx \omega(t)$. Считая $\varphi(t) \approx \varphi(b) + \varphi'(b)(t-b)$, после выполнения преобразования получим

$$|G_f(b, \omega)| = \langle f, g_{b,\omega} \rangle \approx |A(b)| |\hat{g}(\varphi'(b) - \omega)|. \quad (9)$$

Из выражения (9) следует, что, меняя значение b , можно найти (с некоторой погрешностью) форму огибающей $|A(b)|$; фиксируя b и меняя значение ω , можно также определить локальное значение частоты, находя положение максимума фурье-образа “оконной” функции: $\omega_{\max} \approx \varphi'(b) \approx \omega(b)$.

“Оконное” преобразование Фурье является эффективным средством обработки сложных сигналов. К его недостаткам следует отнести большое число переменных, от которых зависит функция-образ. Даже в одномерном случае таких переменных должно быть три: положение середины окна, его ширина и частота осцилляций, заполняющих окно, причем последние две не могут быть выбраны независимо. Можно упростить описанный выше подход, фиксируя число осцилляций, заполняющих окно, например, поддерживая постоянным отношение ширины окна к периоду осцилляций. В этом случае число переменных сокращается до двух, а необходимое изменение параметров окна сводится к его масштабированию вместе с “заполнением”. Эта идея положена в основу новой модификации частотно-временного анализа, получившей название кратного-разрешающего (вейвлетного) анализа.

Выберем вейвлет-функцию $\psi(t)$, ее график должен иметь вид окна, заполненного осцилляциями (термин “вейвлет” означает “маленькая волна”, “всплеск”). Построим базис, выполняя непрерывные масштабные преобразования и трансляции этой функции:

$$\psi_{a,b}(t) = \frac{1}{\sqrt{|a|}} \psi\left(\frac{t-b}{a}\right), \quad a \in \mathbb{R}, \quad b \in \mathbb{R}.$$

Определим непрерывное вейвлет-преобразование произвольной функции $f(t)$:

$$W_f(a, b) = \langle f, \psi_{a,b} \rangle \equiv \int_{-\infty}^{\infty} f(t) \psi_{a,b}^*(t) dt. \quad (10)$$

Фурье-образ базисной функции связан с фурье-образом вейвлета соотношением $\hat{\psi}_{a,b}(\omega) = (a/\sqrt{|a|}) \exp(-i\omega b) \hat{\psi}(a\omega)$. Используя равенство Парсеваля $2\pi \langle f, g \rangle = \langle \hat{f}, \hat{g} \rangle$, можно найти правило обращения вейвлет-преобразования

$$f(x) = \frac{1}{c_\psi} \int_{-\infty}^{\infty} \int_{-\infty}^{\infty} W_f(a, b) \psi_{a,b}(x) \frac{da db}{a|a|}, \quad C_\psi = \int_{-\infty}^{\infty} \frac{d\xi}{\xi} |\hat{\psi}(\xi)|^2.$$

Покажем, что вейвлет-преобразование позволяет улавливать медленное изменение частоты заполнения в пределах огибающей радиоимпульса. Пусть $f(t) = A(t) \exp[i\varphi(t)]$ и $\varphi(t) = \omega(t)t$, $t\omega'(t) \ll \omega(t)$ для всех t в пределах огибающей импульса. Тогда $|W_f(a, b)| \approx \sqrt{|a|} |A(b)| |\hat{\psi}(a\varphi'(b))|$. Предположим, что фурье-образ вейвлет-функции $\hat{\psi}(\omega)$ имеет экстремум в точке $\omega_0 \neq 0$ на оси частот. Тогда, находя значение экстремума в зависимости от значения a (при фиксированном b), определим $\varphi'(b) \approx \omega(b)$, решая уравнение $a\varphi'(b) \approx \omega_0$. В логарифмической форме это уравнение имеет вид $\log_2 a \approx \log_2 \omega_0 - \log_2 \varphi'(b)$. Таким образом, изменение частоты сигнала в два раза приводит к смещению экстремума по оси $\log_2 a$ на единицу.

Вещественные вейвлет-функции удобно выбирать в виде производных функции Гаусса:

$$\psi(t) = (-1)^{m+1} \frac{d^m}{dt^m} \exp\left(-\frac{t^2}{2}\right), \quad m \geq 1. \quad (11)$$

Морле ввел другой тип вейвлет-функций [3]: $\psi(t) = \exp(i\omega_0 t) \exp(-t^2/2)$. Вейвлет-преобразование Морле аналогично оконному преобразованию Фурье, так как вейвлет-функция представляет собой гауссово окно, заполненное синусоидальными осцилляциями. Функция (11) при $m = 2$ используется наиболее часто и называется “мексиканская шляпа” или “сомбреро”. Другие примеры часто используемых вейвлет-функций приведены в обзоре [4].

Применим вейвлетный анализ к ряду искусственно созданных изображений. Построим растр с масштабной инвариантностью (самоподобием) в виде системы черных полос (рис. 1,а) по алгоритму построения множества Кантора. Черный прямоугольник разобьем отрезками, параллельными боковым сторонам, на три равные части и удалим среднюю часть. Затем эту процедуру применим к каждой из оставшихся частей, и так далее. В качестве функции $f(t)$ используем одномерное распределение, полученное при сканировании раstra вдоль горизонтальной прямой от $t = 0$ (левая граница изображения) до $t = 1$ (правая граница изображения). Значение функции пропорционально степени зачернения изображения. На вейвлетограмме, представленной на рис. 1,б (вейвлет “сомбреро”), в системе координат $\{b, \log_2(1/a)\}$ (b — параметр трансляции, a — параметр масштабирования) построено соответствующее вейвлет-спектральное распределение: интенсивность зачернения пропорциональна квадрату модуля функции (10). Неоднородность зачернения в нижней, средней и верхней частях изображения на рис. 1,б свидетельствует о существовании структурных элементов соответственно мелкого, среднего и крупного масштабов на исходном изображении (рис. 1,а). Иными словами, по виду нижней, средней и верхней частей вейвлетограммы можно судить о наличии мелко-, средне- и крупномасштабной

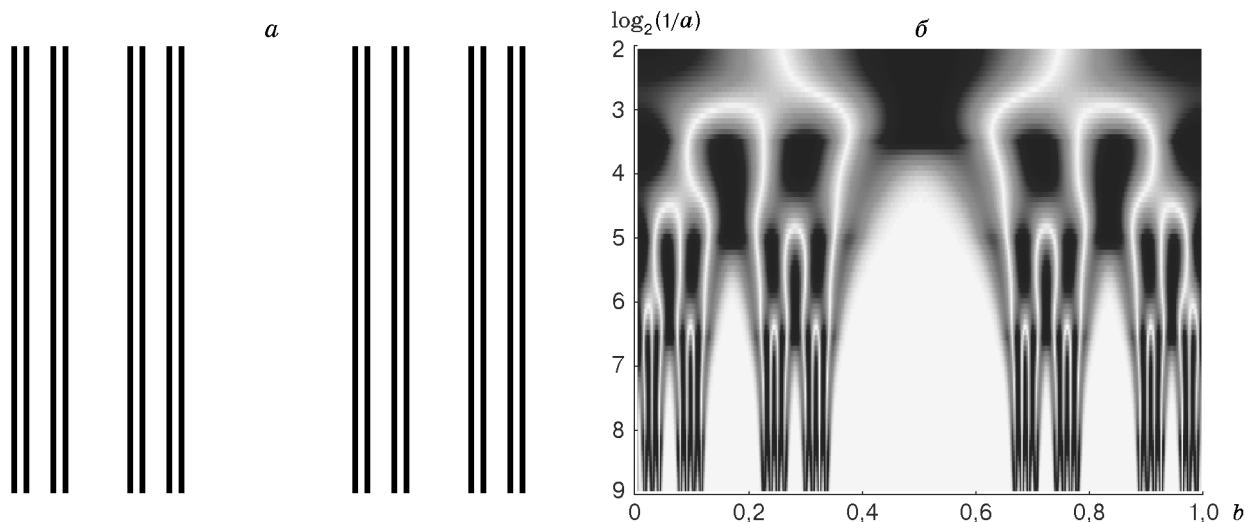


Рис. 1. Масштабно-инвариантный растр (*a*) и его вейвлетограмма (*б*)

структур. Особенность вейвлетограммы, представленной на рис. 1,*б*, состоит в повторяемости с некоторым нецелым шагом однотипных структурных элементов (светлых “арок” с темной сердцевинкой) при движении по вертикали, что свидетельствует о наличии у растра самоподобия. Размер шага, который можно определить, измеряя, например, расстояния по вертикали между горизонтальными уровнями, на которых находятся вершины “арок”, связан с дробной размерностью соответствующей фрактальной структуры. В нашем модельном примере (канторовское множество) шаг равен $\log_2 3$.

Рассмотрим двумерные изображения идеализированных кусочно-регулярных структур, являющихся моделями изображений реальных объектов. Процедура вейвлет-спектрального анализа позволяет выявить закономерности их строения.

На рис. 2,*a* изображена структура, состоящая из черных и белых квадратов, расположенных в шахматном порядке. Линейные размеры квадратов в правой половине структуры в четыре раза меньше, чем в левой. Одномерное распределение $f(t)$ получено путем

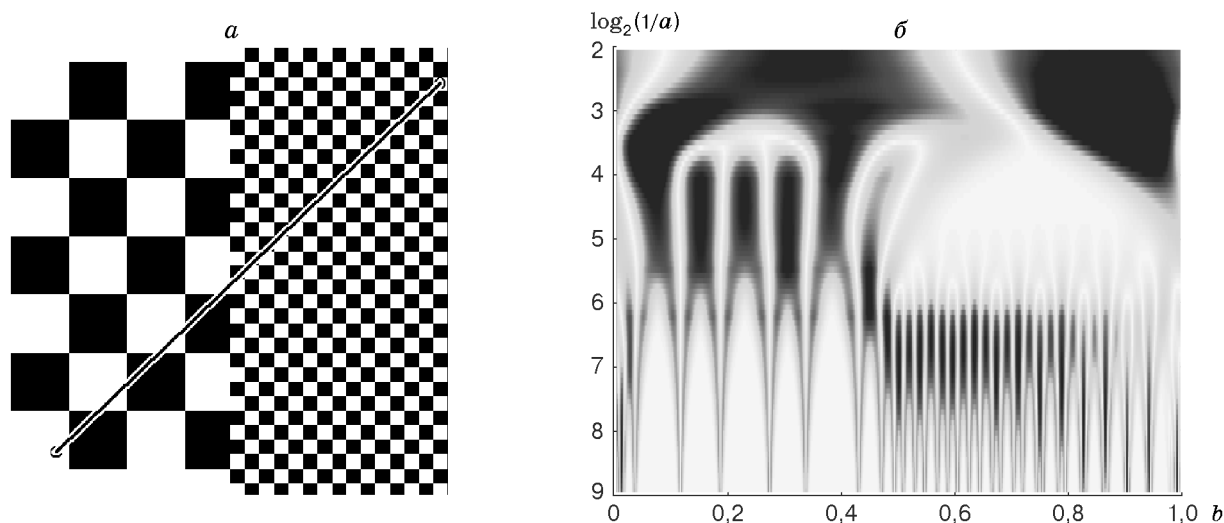


Рис. 2. Регулярная структура с отношением размеров элементов 1 : 4 (*a*) и ее вейвлетограмма (*б*)

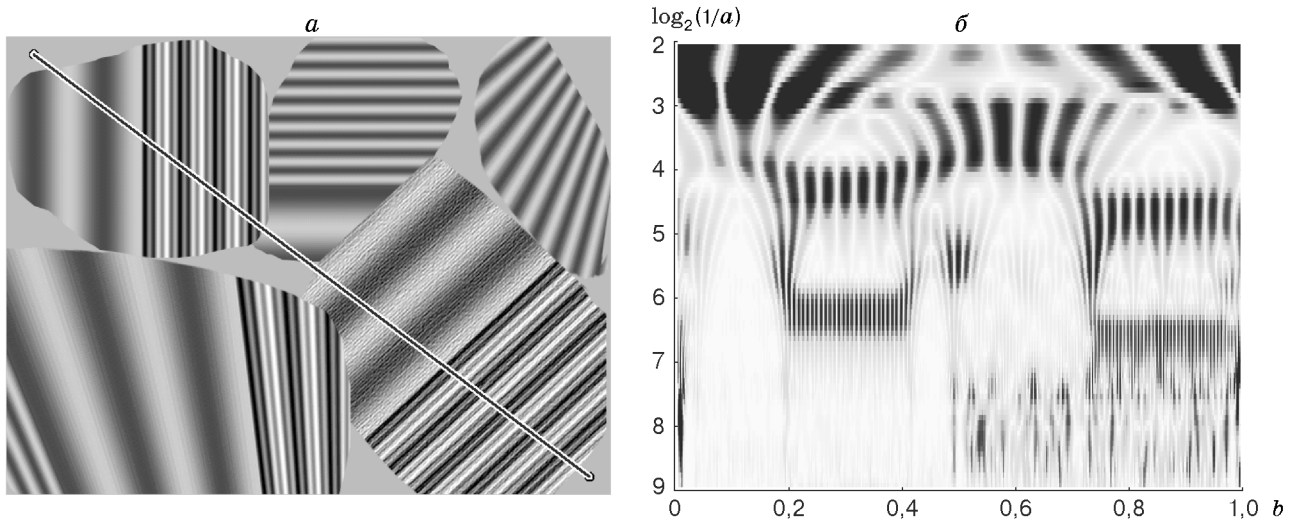


Рис. 3. Существенно двумерная модельная структура (а) и ее вейвлетограмма (б)

сканирования вдоль наклонного отрезка, показанного на рис. 2,а, от $t = 0$ (левый конец отрезка) до $t = 1$ (правый конец отрезка). На вейвлетограмме, построенной с помощью вейвлета “сомbrero” (рис. 2,б), границы горизонтальных полос, состоящих из чередующихся темных и светлых вертикальных столбцов, определяются условиями $4 < \log_2(1/a) < 6$ и $6 < \log_2(1/a) < 8$ соответственно для левой и правой половин изображения. Наличие горизонтальной полосы (или нескольких полос на разных уровнях) свидетельствует о периодической повторяемости элементов структуры с некоторым характерным периодом (или с несколькими периодами). В данном случае смещение полосы на две единицы вниз по логарифмической шкале масштабов при переходе из левой половины вейвлетограммы в правую показывает, что структура, представленная на рис. 2,а справа, может быть получена из структуры, представленной на рис. 2,а слева, путем пропорционального сжатия в $2^2 = 4$ раза.

Существенно двумерная структура, изображенная на рис. 3,а, состоит из ряда доменов, заполненных модельными текстурами. Расшифровка вейвлетограммы, построенной по результатам сканирования вдоль наклонного отрезка слева направо (использовался вейвлет Морле) (рис. 3,б), позволяет выявить следующие структурные особенности изображения:

- структура является периодической при $0 < b < 0,19$ (горизонтальная полоса $2 < \log_2(1/a) < 3,3$) и $0,52 < b < 0,73$ (горизонтальная полоса $3 < \log_2(1/a) < 4,1$);
- структура дwoякопериодическая при $0,19 < b < 0,41$ (горизонтальные полосы $4 < \log_2(1/a) < 4,7$ и $6 < \log_2(1/a) < 6,7$, периоды различаются примерно в четыре раза), а также при $0,73 < b < 1$ (горизонтальные полосы $4,4 < \log_2(1/a) < 5,3$ и $6,4 < \log_2(1/a) < 7,3$);
- в области $0,5 < b < 1$ имеется высокочастотный шум (о его наличии свидетельствует неоднородность изображения на рис. 3,б при $7,5 < \log_2(1/a) < 9$).

С помощью вейвлетного анализа определим структуру брикетов, полученных холодным компактированием титановой губки в закрытой пресс-форме при давлениях 400 МПа (рис. 4,а) и 800 МПа (рис. 5,а). Результаты математического и натурного моделирования, исследования структуры и механических свойств полуфабрикатов, полученных брикетированием титановой губки и последующим выдавливанием прутков, приведены в работах [13, 14]. Эти исследования выполнены с учетом того, что полуфабрикаты и изделия из технически чистого титана с химическим составом, соответствующим составу губки,

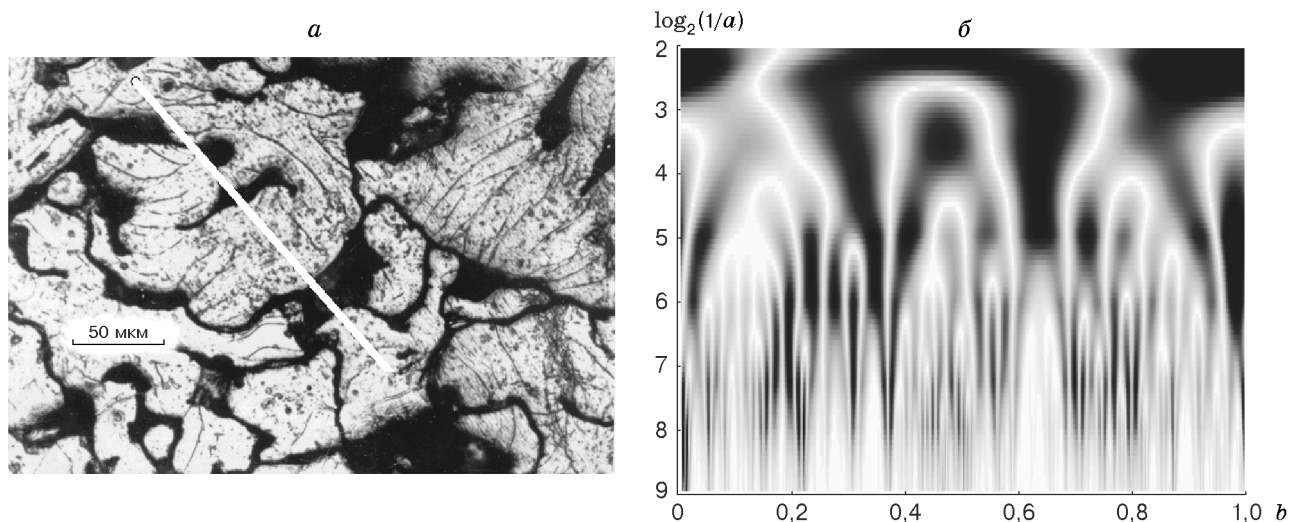


Рис. 4. Структура титановой губки, спрессованной под давлением 400 МПа (*a*), и ее вейвлетограмма (*б*)

не регламентируемые специальными требованиями, можно получить непосредственно из титановой губки по бесслитковой технологии с существенной экономией энергетических, материальных и трудовых затрат.

На рис. 4, *б* и 5, *б* представлены результаты вейвлет-преобразований (вейвлет “сомбре-ро”) анализируемых сигналов вдоль выбранных направлений (белая линия длиной 200 и 290 мкм на рис. 4, *a* и 5, *a* соответственно). Следует отметить, что изображение вейвлет-спектра на рис. 4, *б* свидетельствует о наличии на уровне пяти единиц периодичности структуры титанового брикета с шагом 55 мкм, на рис. 5, *б* — о наличии на уровне четырех единиц периодичности структуры титанового брикета с шагом 115 мкм. Можно утверждать, что более пористый брикет (рис. 4, *a*) на уровне пяти единиц (среднемасштабный уровень) имеет периодичность структуры с расстоянием между структурными образованиями порядка 55 мкм, а более плотный брикет (рис. 5, *a*) на уровне четырех единиц

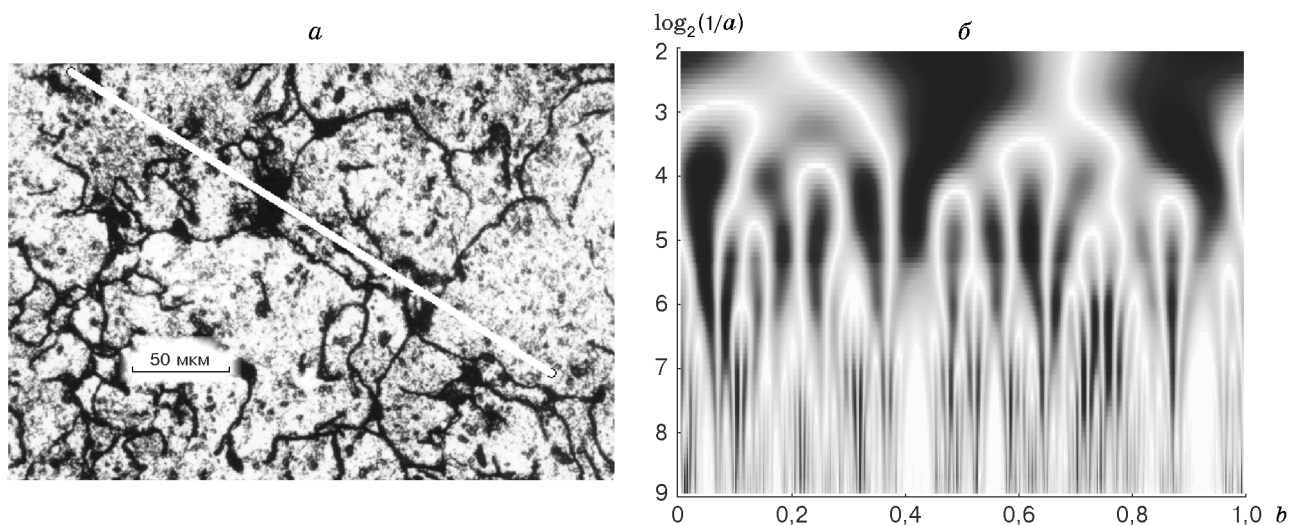


Рис. 5. Структура титановой губки, спрессованной под давлением 800 МПа (*a*), и ее вейвлетограмма (*б*)

(маломасштабный уровень) имеет периодическое строение структуры с шагом 115 мкм. При построении на уровне мезомеханики определяющих соотношений для структурно-неоднородных материалов (кривых упрочнения или уравнений состояния) и определении эффективных характеристик [1, 15] целесообразно учитывать масштабы структурных периодических образований.

Таким образом, вейвлет-анализ может быть использован для идентификации структурно-неоднородных деформируемых материалов. В частности, он позволяет определять наличие или отсутствие периодичности внешне хаотичных структур и масштабные уровни представительных объемов.

ЛИТЕРАТУРА

1. **Богачев И. Н., Вайнштейн А. А., Волков С. Д.** Статистическое металловедение. М.: Металлургия, 1984.
2. **Daubechies I.** The wavelets and filter banks: theory and design // IEEE Trans. Signal Process. 1989. V. 36, N 5. P. 674–693.
3. **Grossmann A., Morlet J.** Decomposition of Hardy functions into square integrable wavelets of constant shape // SIAM J. Math. Anal. 1984. V. 15. P. 723–736.
4. **Астафьева Н. М.** Вейвлет-анализ: Основы теории и примеры применения // Успехи физ. наук. 1996. Т. 166, № 11. С. 1145–1170.
5. **Wu Y., Du R.** Feature extraction and assesment using wavelet packets for monitoring of machining processes // Mech. Syst. Signal Process. 1996. V. 10, N 1. P. 29–53.
6. **Walker J. S.** Fourier analysis and wavelet analysis // Notices Amer. Math. Soc. 1997. V. 44. P. 658.
7. **Bowman C., Passot T., Assenheimer M., Newell A. C.** A wavelet based algorithm for pattern analysis // Physica D. 1998. V. 119. P. 250–282.
8. **Torresani B.** An overview of wavelet analysis and time-frequency analysis (a minicourse) // Proc. of the Intern. workshop “Self-similar systems”, Dubna, Russia, July 30 — Aug. 7, 1998. Dubna: JINR, 1999. P. 9–34.
9. **Вейль Г.** Теория групп и квантовая механика. М.: Наука, 1986.
10. **Мойел Дж.** Квантовая механика как статистическая теория // Вопросы причинности в квантовой механике. М.: Изд-во иностр. лит., 1955. С. 208–243.
11. **Wigner E.** On the quantum corrections for thermodynamic equilibrium // Phys. Rev. 1932. V. 40. P. 749–759.
12. **Татарский В. И.** Вигнеровское представление квантовой механики // Успехи физ. наук. 1983. Т. 139, № 4. С. 587–619.
13. **Залазинский А. Г., Новожинов В. И., Колмыков В. Л., Соколов М. В.** Моделирование прессования брикетов и выдавливания прутков из титановой губки // Металлы. 1997. № 6. С. 64–68.
14. **Новожинов В. И., Залазинский А. Г., Давыдова Л. С. и др.** Исследование возможности получения прутков из титановой губки // Цв. металлы. 1999. № 3. С. 91, 92.
15. **Соколкин Ю. В., Ташкинов А. А.** Механика деформирования и разрушения структурно-неоднородных тел. М.: Наука, 1984.

Поступила в редакцию 23/VIII 2000 г.